

Uchida, N., and T. Matsuzawa, Coupling coefficient, hierarchical structure, and earthquake cycle for the source area of the 2011 Tohoku earthquake inferred from small repeating earthquake data, *Earth Planets Space*, 63 (No. 7), 675-679, doi:10.5047/eps.2011.07.006, 2011

Yoshida, Y., H. Ueno, D. Muto, and S. Aoki, 2011, Source process of the 2011 Off the Pacific Coast of Tohoku earthquake with the combination of teleseismic and strong motion data, *Earth Planets Space*, Vol. 63 (No. 7), pp. 565-569.

Yokota, Y., K. Koketsu, Y. Fujii, K. Satake, S. Sakai, M. Shinohara and T. Kanazawa, 2011, Joint inversion of strong motion, teleseismic, geodetic, and tsunami datasets for the rupture process of the 2011 Tohoku earthquake, *Geophys. Res. Lett.*, 38, L00G21, doi:10.1029/2011GL050098.

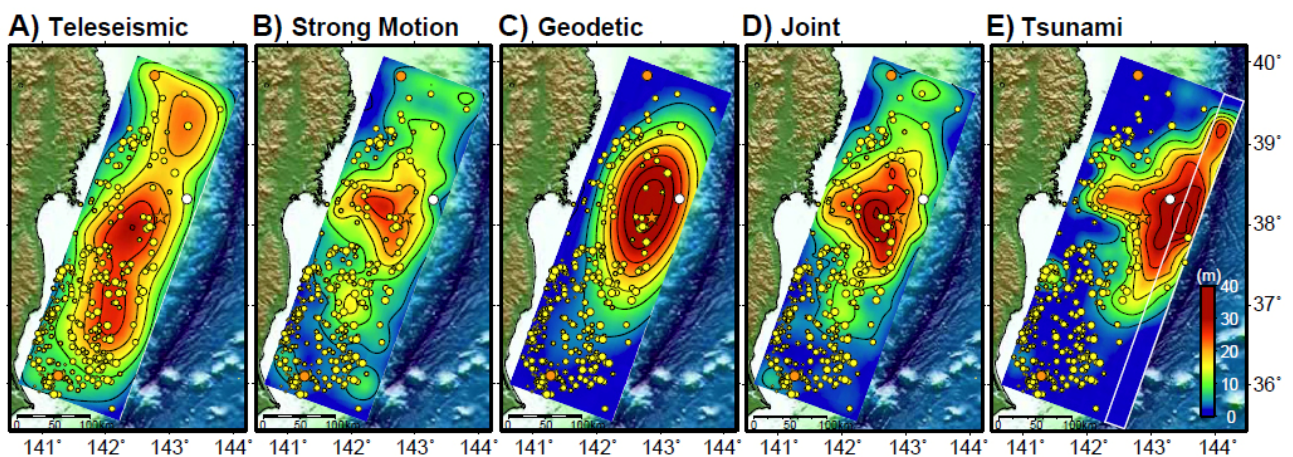


図1. 2011年東北地方太平洋沖地震の統合震源モデル (Koketsu et al., 2011)。

左から(A) 遠地, (B) 強震, (C) 測地, (D) 遠地・強震・測地ジョイント, (E) 津波の震源インバージョン (東大地震研[課題番号:1422], Koketsu et al., 2011)。

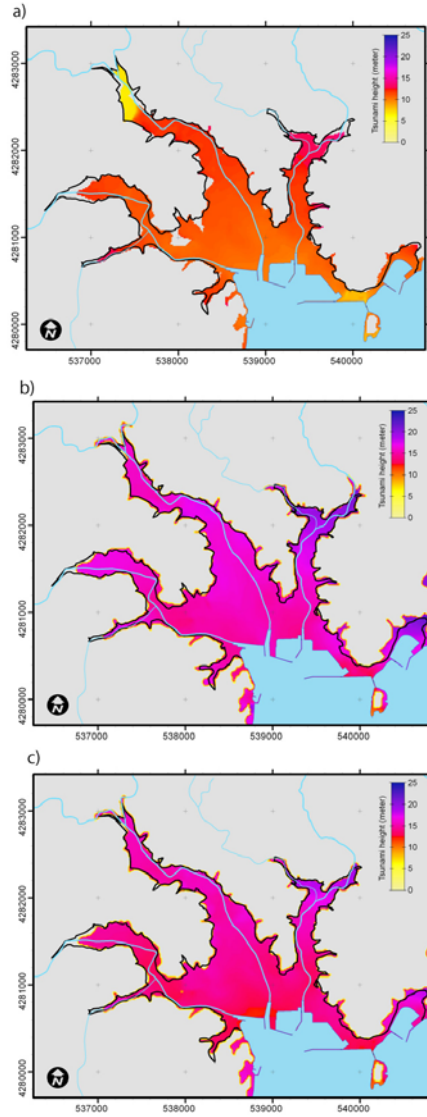


図2 南三陸町での津波遡上予測結果。上段) 地震発生から5分間の地震波形から推定された断層モデルから計算された津波遡上域と津波高。中段) 地震発生から10分間の地震波形から推定された断層モデルから計算された津波遡上域と津波高。下段) 遠地波形も含めた断層モデルから計算された津波遡上域と津波高。太線は東北地方太平洋沖地震の津波遡上域(北大[課題番号:1006])。

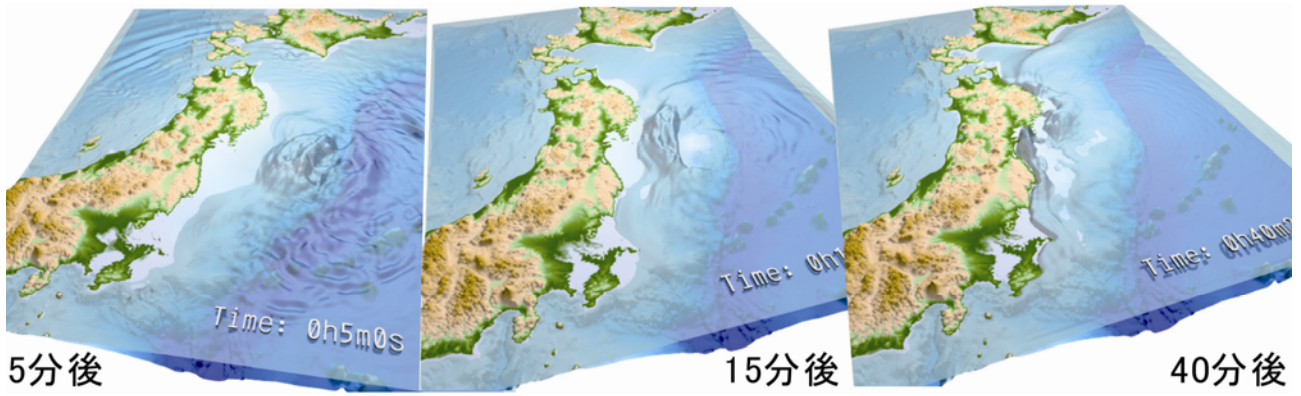


図3 東北地方太平洋沖地震の地震ー津波同時シミュレーション  
 地震発生から5分、15分、40分後の地震動（海中音波）、海底地殻変動、津波の発生伝播の様子（東大地震研 [課題番号：1424]）。